

**Е.Ф. Балбоненко, В.А. Басов, В.А. Визирь,  
И.Н. Коновалов, В.В. Червяков, Н.Г. Шубкин**

### **ЭЛЕКТРОРАЗРЯДНЫЙ ХеСІ-ЛАЗЕР С ЭНЕРГИЕЙ ИЗЛУЧЕНИЯ В ИМПУЛЬСЕ 10 Дж**

Описаны конструкция и энергетические характеристики электроразрядного импульсно-периодического ХеСІ-лазера с объемом активной области  $4 \times 7 \times 100 \text{ см}^3$ . Лазер состоит из цилиндрической газоразрядной камеры, включающей диаметральный вентилятор, теплообменник, источник мягкого рентгеновского излучения. Для накачки лазера применен тиратронно-магнитный генератор с энергией, запасаемой в емкостных накопителях, 500 Дж.

При возбуждении смеси Ne:Хе:НСІ = 1560:10:1, находящейся под давлением 4 атм, получены: энергия излучения в импульсе 10 Дж, длительность импульса излучения на полувысоте 50 нс, плотность мощности излучения  $10 \text{ МВт/см}^2$ . Проведено предварительное исследование работы лазера при частоте срабатывания до 20 Гц.

Разработанный лазер может быть использован в комплексе аппаратуры для дистанционного зондирования атмосферы. Основными энергетическими блоками лазера являются газоразрядная камера и тиратронно-магнитный генератор импульсов накачки.

Цилиндрическая газоразрядная камера диаметром 60 см и длиной 150 см изготовлена из нержавеющей стали. На одном из боковых фланцев камеры консольно закреплены вакуумный диод источника мягкого рентгеновского излучения, трубчатый оребренный теплообменник и вентилятор диаметрального типа. Область горения объемного разряда с объемом  $4 \times 7 \times 100 \text{ см}^3$  образована двумя профилированными электродами. Конструкция изолятора ввода и обратных токопроводов обеспечивает индуктивность разрядной камеры  $\sim 20 \text{ нГн}$ .

Рентгеновское излучение, генерируемое в вакуумном диоде, используется для предварительной ионизации рабочей смеси газов Ne – Хе – НСІ. Излучение выводится в разрядный промежуток лазера через окно в заземленном электроде, закрытое титановой фольгой толщиной 50 мкм либо перфорированной пластинкой. Вакуумный диод источника рентгеновского излучения – обращенного типа с холодным взрывоэмиссионным катодом. Катод выполнен из полосок танталовой фольги толщиной 25 мкм, закрепленных на опорной решетке. Мишенью на аноде служит танталовая фольга толщиной 100 мкм. Окно в диоде для вывода рентгеновского излучения закрыто разделительной фольгой из титана толщиной 50 мкм. Разрежение газа поддерживается форвакуумным насосом 2НВР-5ДМ на уровне  $\sim 10^{-2} \text{ мм рт. ст.}$

Питание диода осуществляется через кабель КВИ-120 от конденсатора К15-10 емкостью 5 нФ, подключаемого к диоду управляемым искровым разрядником. Мы провели также серию экспериментов, в которых в качестве коммутатора использовался импульсный газоразрядный тиратрон ТГИ-1-2000/35, а питание диода осуществлялось через импульсный трансформатор. При амплитуде ускоряющего напряжения 65 кВ, времени нарастания напряжения  $50 \div 70 \text{ нс}$  диод также устойчиво срабатывал при частотах включений до 200 Гц. При зарядном напряжении 60 кВ плотность тока в диоде составляет  $\sim 2 \text{ А/см}^2$ , длительность импульса тормозного излучения 300 нс. Энергия квантов излучения составляет  $25 \div 30 \text{ кэВ}$ . Проведенные измерения и расчеты показали, что в области горения объемного разряда экспозиционная доза импульса излучения достигает 1 рентгена. При этом в смеси газов Ne: Хе: НСІ, находящейся под давлением  $4 \div 5 \text{ атм}$ , создается начальная концентрация электронов до  $\sim 10^9 \text{ см}^{-3}$ , необходимая для зажигания устойчивого однородного разряда [1, 2, 3].

Прокачка смеси через разрядный промежуток лазера осуществляется с помощью диаметрального вентилятора диаметром 200 мм, длиной 1200 мм. Вращение вентилятора производится через магнитную муфту двигателем постоянного тока. Мощность привода – 2,3 кВт. При частоте вращения вентилятора 1500 об/мин скорость продувки рабочей смеси через разрядный промежуток лазера составляет 5 м/с.

Трубчатый оребренный теплообменник выполнен из алюминиевого сплава. Теплоноситель – вода.

Генерируемое лазером излучение выводится из разрядной камеры через окна диаметром 140 мм. Оптический резонатор образован диэлектрическим зеркалом с коэффициентом отражения 99% на длине волны ~308 нм и плоскопараллельной кварцевой пластиной.

Электрическая схема тиратронно-магнитного генератора, служащего для накачки лазера, приведена на рис. 1 [4]. Два тиратрона ТГИ-1-2500/50 через защитные дроссели  $L_1$  и  $L_2$  соединены с накопительными конденсаторами  $C_{S1}+C_{S4}$ , включенными по схеме удвоения напряжения. Дроссель сжатия  $L_3$  соединяет выходы схем удвоения с конденсатором  $C_{h1}$ , питающим объемный разряд в разрядной камере  $VL_3$ . В качестве накопителей энергии применены конденсаторы КМЧ-100 кВ – 0,1 мкФ. Сердечники защитных дросселей набраны из ферритовых колец 200 ВМП-К 125×80×10. Одновитковый дроссель сжатия коаксиальной конструкции содержит 8 магнитных сердечников 3-К 360×200×25 из сплава 50 НП-0,01 и обеспечивает сжатие импульса на конденсаторе  $C_{h1}$  в 4 раза. Разработанный нами конденсатор  $C_{h1}$ , имеющий емкость 140 нФ и собственную индуктивность ~5 нГн, подключен к разрядному промежутку лазера с помощью отрезка полосковой линии  $SL$ . Индуктивность цепи разряда конденсатора  $C_{h1}$  на разрядный промежуток лазера составляет 29 нГн. При включении тиратронов дроссели  $L_1$  и  $L_2$  насыщаются через ~70 нс и конденсаторы  $C_{S1}$  и  $C_{S4}$  перезаряжаются до напряжения обратного знака за время 700 нс. Под действием удвоенного напряжения на последовательно соединенных конденсаторах  $C_{S1} - C_{S2}$  и  $C_{S3} - C_{S4}$  дроссель сжатия  $L_3$  к концу импульса тока через тиратроны насыщается и накопительные конденсаторы разряжаются на емкость  $C_{h1}$  за 180 нс. При зарядном напряжении 50 кВ амплитуда импульса напряжения на выходе генератора достигает 70 кВ.

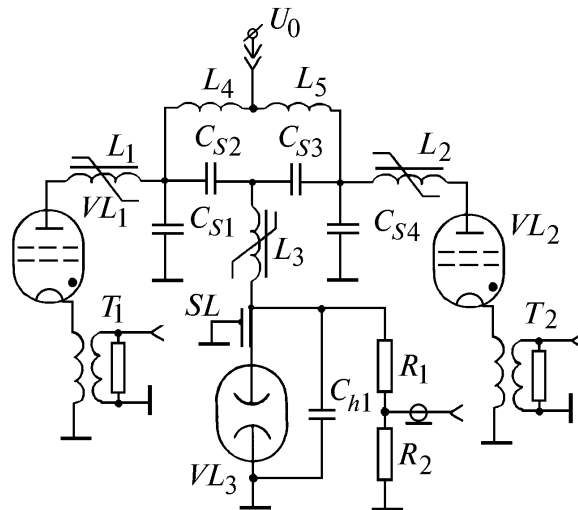


Рис. 1. Электрическая схема тиратронно-магнитного генератора

Осциллограммы импульсов напряжения на емкости, питающей объемный разряд, тока объемного разряда и генерируемого излучения приведены на рис. 2. С целью исключения микроканалирования объемного разряда около катода, возникающего за счет дрейфа электронов под действием приложенного электрического поля, пробой разрядного промежутка лазера осуществлялся до окончания импульса рентгеновского излучения [5]. Для смеси Ne:Xe:HCl = 1000:10:1 при давлении 4 атм расчетное значение приведенного электрического поля на плазме в квазистационарной стадии разряда составило  $E/p \approx 0,7 \div 0,9$  кВ/см·атм. При разбавлении смеси неона до соотношения компонентов 1560:10:1  $E/p$  на плазме уменьшалось до  $0,5 \div 0,6$  кВ/см·атм. Плотность тока объемного разряда достигает  $300 \div 350$  А/см<sup>2</sup>, удельная мощность накачки лазера  $0,7 \div 0,9$  МВт/см<sup>3</sup>, максимальная плотность энергии излучения  $0,52$  Дж/см<sup>2</sup>; плотность мощности излучения  $10$  МВт/см<sup>2</sup>; суммарная энергия излучения в импульсе –  $10$  Дж.

При этом КПД лазера составляет: от энергии, запасаемой в емкостных накопителях генератора, – 2%; от энергии, запасаемой в емкости, питающей объемный разряд, – 3,3%.

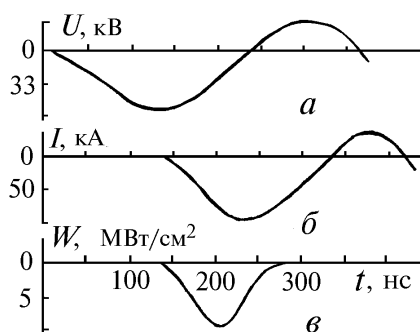


Рис. 2. Осциллограммы импульсов: *a* – напряжения  $U$  на емкости, питающей объемный разряд; *b* – тока  $I$  объемного разряда; *в* – генерируемого излучения  $W$ . Ne:Xe:HCl=1000:10:1,  $p=4$  атм,  $U_0=50$  кВ

При использовании плоскопараллельного резонатора расходимость лазерного пучка составила 3 мрад. Неустойчивый резонатор с коэффициентом увеличения  $M=5$  обеспечил снижение расходимости излучения в  $\sim 10$  раз. Расходимость излучения по уровню половины энергии составила  $2 \cdot 10^{-4}$  рад, по уровню 0,75 энергии –  $3,5 \cdot 10^{-4}$  рад. Выходная энергия при этом уменьшилась на  $\sim 20\%$ . Относительно высокая расходимость излучения обусловлена высоким коэффициентом усиления ( $\geq 0,075$  см $^{-1}$ ), большой апертурой светового пучка и сравнимостью времени формирования диаграммы направленности с длительностью лазерного импульса.

При работе лазера с частотой до 20 Гц без системы очистки рабочей смеси газов энергия импульсов излучения в течение 10 мин уменьшалась примерно в 2 раза. Нагрев смеси до 32 С заметного влияния на генерационные характеристики лазера не оказывал.

1. Shields H., Alcock A.J., Taylor R.S. // Appl. Phys. 1983. V. B31. P. 27–35.
2. Балбоненко Е.Ф., Басов В.А., Коновалов И.Н. и др. // ПТЭ. 1994. N 4. С. 112–115.
3. Tallman C.R., Bigio I.J. // Appl Phys. Lett. 1983. V. 42. P. 149–151.
4. Балбоненко Е.Ф., Басов В.А., Визирь В.А. и др. // IX Симпозиум по сильноточной электронике. (Тезисы докл.). М., 1992. С. 230–231.
5. Levatter J.J., Lin Shao-Chi // J. Appl. Phys. 1980. V. 51. P. 210–222.

Институт сильноточной электроники СО РАН,  
г. Томск

Поступила в редакцию  
17 мая 1995 г.

E.F. Balbonenko, V.A. Basov, V.A. Vizir', I.N. Konovalov,  
V.V. Cherviakov, N.G. Shubkin. **Discharge XeCl Laser with Laser Pulse Energy of 10 J.**

Design and pulse characteristics of discharge pulse transradiated XeCl laser with discharge volume of  $4 \times 7 \times 100$  cm $^3$  is described in the paper. The laser cell consists of X-ray pulse generator, fan, and heat exchanger. Thyatron magnetic generator of 500 J energy is used to pump the laser.

The following values of parameters of the pulse were obtained when exciting mixture Ne:Xe:HCl = 1560:10:1 under 4 atm pressure: 10 J energy; 50 ns duration (FWHM) and 10 MW/cm $^2$  density. Tentative investigation of the laser operation at 20 pps frequency of the pulse repetition was performed.